

## PS-3

## 高炉補助燃料の霧化特性の検討

住友金属工業㈱ 中央技術研究所

羽田野道春

宮崎富夫

田中 努 ○亀井康夫

I. 緒言 高炉吹込み用補助燃料の炉内での燃焼に関しては、多くの検討がなされているが、燃焼の重要な因子である霧化特性に関する報告は少ない。今回、溶融ワックスを使用して、スラリー燃料をも含めた霧化特性の検討を行ったので報告する。

II. 実験方法 図1に示される装置を使用して、溶融ワックス（微粉炭濃度：0～50wt%，微粉炭粒度：-200 mesh, 70.3 wt%）を霧化し、飛散した粒子を捕集、節分けし、粒度分布を測定した。

## III. 結果

(1) 霧化粒子の粒度分布は、風速の増大に伴い、均一細粒化するがワックス単味に比較してスラリーの方が幅広い分布となっており、平均径が同じ場合でも両者の粒度分布は異なる。（図2）

(2) 霧化粒子の平均径は、気液相対速度（=風速）に大きく依存し低風速域では、微粉炭濃度が高い程大粒径となるが、高風速域では濃度の影響は小さくなる。（図3）

(3) 霧化粒子の調和平均径は、抜山<sup>2)</sup>の式を基準にした次式により推定可能である。

$$\text{ワックス单味 } D_p = 80.9 \sqrt{\frac{\sigma_\ell}{\rho_\ell} \cdot \frac{1}{v_r}} + 826 \left( \frac{\mu_\ell}{\sqrt{\rho_\ell \cdot \sigma_\ell}} \right)^{0.45} \left( \frac{1000}{Q_a/Q_\ell} \right)^{1.5} + 16.7 \quad (1)$$

$$\text{スラリー } D_p = 1368 \sqrt{\frac{\sigma_\ell}{\rho_\ell} \cdot \frac{1}{v_r}} + 6322 \left( \frac{\mu_\ell}{\sqrt{\rho_\ell \cdot \sigma_\ell}} \right)^{0.45} \left( \frac{1000}{Q_a/Q_\ell} \right)^{1.5} - 26.9 \quad (2)$$

$D_p$ ：調和平均径 ( $\mu$ )  $\rho_\ell$ ：密度 ( $\text{g/cm}^3$ )  $\sigma_\ell$ ：表面張力

(dyne/cm)  $\mu_\ell$ ：粘度 (poise)  $v_r$ ：気液相対速度 (m/s)

$Q_a/Q_\ell$ ：気液容積流量比 (-)

(4) (1), (2)式で推定した平均粒子径を用い、レースウェイモデル<sup>3,4)</sup>で重油およびCOM吹込み時のレースウェイ内ガス組成分布を計算し高炉下部実験炉の実測データ<sup>5)</sup>と比較したところ、図4に示したように一致が見られた。

IV. 結言 高炉羽口を模した条件下で、ワックス法による霧化実験を行い、高炉補助燃料の霧化粒子径推定式を作成し、レースウェイモデルによる炉内での燃焼状況の推定を可能とした。

- 参考文献 1)松永ら：燃料協会誌, 52 (1973)  
 P. 604, 2)抜山；「熱」抜山四郎論文集（養賢堂）  
 P. 141, 3)羽田野ら：鉄と鋼, 66 (1980),  
 S 640, 4)羽田野ら：鉄と鋼, 67 (1981), S 106,  
 5)宮崎ら：住友金属, 32 (1980), P. 84

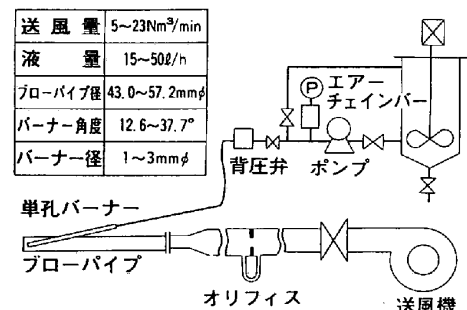


図1 霧化実験方法

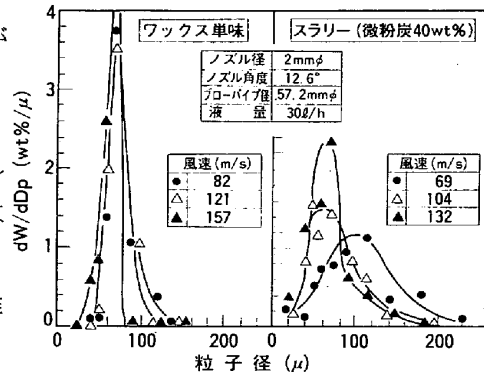


図2 霧化粒子の粒度分布

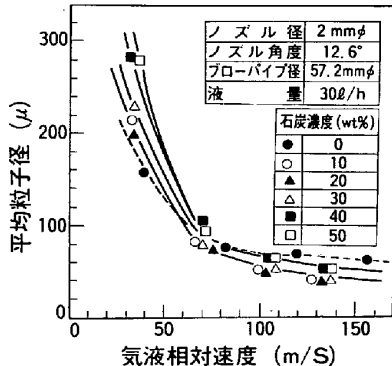
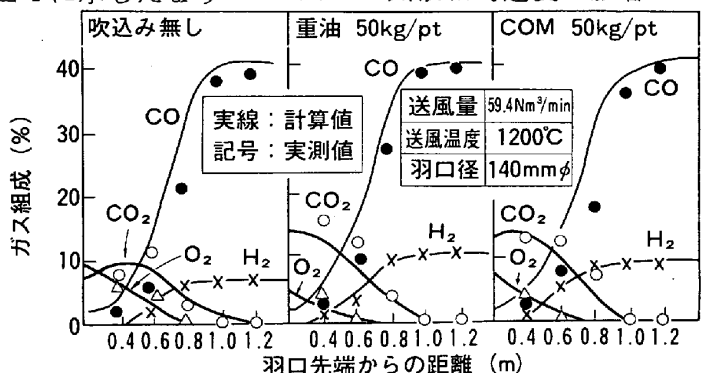


図3 気液相対速度の影響

図4 レースウェイ内ガス組成分布のモデル  
計算値と実測値との比較